

第六章 麦克斯韦电磁理论 电磁波

✎ 作业：2, 3, 7, 9

6.1 麦克斯韦方程组

a) 安培环路定理的改造

➤ 目前已有的成果：无介质时

$$\vec{\nabla} \cdot \vec{E} = \frac{\rho}{\epsilon_0} \quad ①$$

$$\vec{\nabla} \times \vec{E} = -\partial_t \vec{B} \quad ②$$

$$\vec{\nabla} \cdot \vec{B} = 0 \quad ③$$

$$\vec{\nabla} \times \vec{B} = \mu_0 \vec{j} \quad ④$$

- 其中 ①、② 最早分别来自于库仑定律及法拉第电磁感应定律，但我们之前已经把它们作为一般情形电场方程的自然推广或假定。
- ③ 式最早来自于毕奥-萨伐尔定律，我们仍可以把它作为一般情形的推广或假定，这一点与 ② 式在数学上是协调一致的，即 ② 式要求

$$\vec{\nabla} \cdot (\vec{\nabla} \times \vec{E}) = -\partial_t (\vec{\nabla} \cdot \vec{B}) = 0 \Rightarrow \vec{\nabla} \cdot \vec{B} = \text{常量}$$

我们选取这个常量为零，一方面是因为“零”是一个最简单、最自然的选择，另一方面是因为自然界中没有发现磁单极子的存在。

- ④ 式数学上要求恒定电流条件：

$$\vec{\nabla} \cdot (\vec{\nabla} \times \vec{B}) = \mu_0 (\vec{\nabla} \cdot \vec{j}) = 0$$

这与电荷守恒方程是矛盾的

$$\vec{\nabla} \cdot \vec{j} = -\partial_t \rho \xrightarrow{\text{一般}} \neq 0$$

显然不可以直接推广，而需要改造。

➤ 安培环路定理的改造：利用 ① 式，将电荷守恒方程改写为

$$0 = \vec{\nabla} \cdot \vec{j} + \partial_t (\epsilon_0 \vec{\nabla} \cdot \vec{E}) = \vec{\nabla} \cdot (\vec{j} + \epsilon_0 \partial_t \vec{E}) = \vec{\nabla} \cdot \vec{j}_{tot}$$

其中 $\vec{j}_{tot} = \vec{j} + \epsilon_0 \partial_t \vec{E}$ 为形式上的“总（有效）电流密度”。作为安培环路定理的推广，我们把 ④ 式改写为

$$\vec{\nabla} \times \vec{B} = \mu_0 \vec{j}_{tot} = \mu_0 \vec{j} + \mu_0 \epsilon_0 \partial_t \vec{E}$$

这样做假定的理由是：

- 1) 避免了之前数学上的不自洽性。
- 2) 恒定磁场对应恒定电场 ($\partial_t \vec{E} = 0$)，回到已经有充分实验检验的情形。
- 3) 类似于变化的磁场可以激发电场，这里我们看到变化的电场也可以（单独）激发磁场，这些假定的带来的效应（如电磁波等）可以用新的实验加以检验。

➤ 有介质的情形：引入电位移矢量改写 ① 式为

$$\vec{\nabla} \cdot \vec{D} = \rho_0 \quad ①'$$

则自由电荷守恒方程为

$$0 = \vec{\nabla} \cdot \vec{j}_0 + \partial_t \rho_0 = \vec{\nabla} \cdot \vec{j}_0 + \partial_t (\vec{\nabla} \cdot \vec{D}) = \vec{\nabla} \cdot (\vec{j}_0 + \partial_t \vec{D})$$

这样，可以引入磁场强度矢量，将有介质存在时的安培环路定理推广为

$$\vec{\nabla} \times \vec{H} = \vec{j}_0 + \partial_t \vec{D}$$

其中

$$\partial_t \vec{D} = \vec{j}_D$$

定义为“位移电流密度” (Maxwell'1861)，则“位移电流”对应于电位移的通量的变化率

$$I_D = \iint \vec{j}_D \cdot d\vec{S} = \iint \partial_t \vec{D} \cdot d\vec{S} = \frac{d}{dt} \iint \vec{D} \cdot d\vec{S}$$

- 无介质时

$$\vec{j}_D = \partial_t \vec{D} = \epsilon_0 \partial_t \vec{E}$$

相应安培环路定理也回到了之前给出的改造后的形式。

- 有介质时，考虑到

$$\vec{H} = \frac{\vec{B}}{\mu_0} - \vec{M}, \quad \vec{D} = \epsilon_0 \vec{E} + \vec{P}$$

则改造后的安培环路定理可记为

$$\vec{\nabla} \times \vec{B} = \mu_0 \vec{j}_0 + \mu_0 \vec{j}_m + \mu_0 \vec{j}_P + \mu_0 \epsilon_0 \partial_t \vec{E}$$

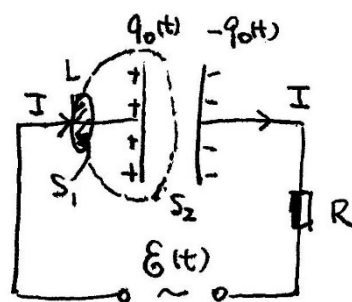
其中

$$\vec{j}_m = \vec{\nabla} \times \vec{M}, \quad \vec{j}_P = \partial_t \vec{P}$$

分别为磁化电流密度，和极化电流密度 ($\vec{\nabla} \cdot \vec{j}_P = -\partial_t \rho'$ 为极化电荷守恒方程)。这表明，除了各种电荷移动带来的电流效应之外，变化电场是激发磁场的另外一种因素。

- ☞ 我们来构造一个（近似）恒定传导电流与位移电流交错的特例：如图，用可变电势的电源为平行板电容器充电，设计它维持导线上的传导电流 $I = dq_0/dt$ 恒定。

- 取围绕外部导线的半径 $r \rightarrow 0$ 的有向圆环 L ，及其围成的圆平面 S_1 （法向向右），忽略电容器边缘效应



$$H \approx \frac{I}{2\pi r}, \quad \oint_L \vec{H} \cdot d\vec{l} \approx I = \iint_{S_1} \vec{j}_0 \cdot d\vec{S} \approx \iint_{S_1} (\vec{j}_0 + \vec{j}_D) \cdot d\vec{S}$$

- 取如图由 L 围城的曲面 S_2 ，其上无 \vec{j}_0 分布，但其上电位移通量的变化率

$$\iint_{S_2} \partial_t \vec{D} \cdot d\vec{S} \approx \frac{d}{dt} \iint_{S_2+S_1} \vec{D} \cdot d\vec{S} = \frac{dq_0}{dt} = I$$

故有

$$\oint_L \vec{H} \cdot d\vec{l} \approx I \approx \iint_{S_2} \vec{j}_D \cdot d\vec{S} = \iint_{S_2} (\vec{j}_0 + \vec{j}_D) \cdot d\vec{S}$$

- 如上特例可以看出，引入位移电流，得到恒定磁场安培环路定理的一个自然的推广，而对 S_2 曲面，我们也得到了如上推广的一个非平凡的验证。
- 电荷守恒方程

$$\vec{\nabla} \cdot (\vec{j}_0 + \vec{j}_D) = 0$$

告诉我们跨越面电荷分布时 $\vec{j}_0 + \vec{j}_D$ 整体法向连续，对于如上特例，跨越电容器极板时，导线电流 \vec{j}_0 与电容内部 \vec{j}_D 法向连续。

因此一点，在低频电路中，电容器作为集中元件，两端传导电流连续，故可在基尔霍夫方程组中不必考虑电容器内部电流的中断的效应。

b) 麦克斯韦方程组 介质方程组

➤ 麦克斯韦方程组，

微分式	积分式
$\vec{\nabla} \cdot \vec{D} = \rho_0$	$\oiint_S \vec{D} \cdot d\vec{S} = \iiint_V \rho_0 dV \quad (I)$
$\vec{\nabla} \times \vec{E} = -\frac{\partial \vec{B}}{\partial t}$	$\oint_L \vec{E} \cdot d\vec{l} = -\iint_S \frac{\partial \vec{B}}{\partial t} \cdot d\vec{S} \quad (II)$
$\vec{\nabla} \cdot \vec{B} = 0$	$\oiint_S \vec{B} \cdot d\vec{S} = 0 \quad (III)$
$\vec{\nabla} \times \vec{H} = \vec{j}_0 + \partial_t \vec{D}$	$\oint_L \vec{H} \cdot d\vec{l} = \iint_S (\vec{j}_0 + \partial_t \vec{D}) \cdot d\vec{S} \quad (IV)$

其中，对于线性介质

$$\vec{D} = \epsilon_r \epsilon_0 \vec{E} \quad (V)$$

$$\vec{B} = \mu_r \mu_0 \vec{H} \quad (VI)$$

$$\vec{j}_0 = \sigma(\vec{E} + \vec{v} \times \vec{B}) \quad (VII)$$

方程 (V)-(VII) 通常被称为介质（物质）方程组，与麦克斯韦方程组一起构成求解宏观电磁场的完备方程组。

- 电荷守恒方程已经包含在麦克斯韦方程组中。
- 若处理电磁场与电荷的相互作用，还需引入洛伦兹力公式

$$\vec{F} = q_0(\vec{E} + \vec{v} \times \vec{B})$$

或记为洛伦兹力体密度的形式

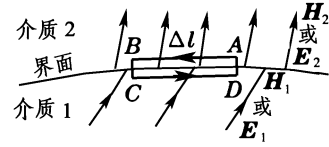
$$\vec{f} = \frac{d\vec{F}}{dV} = \rho_0(\vec{E} + \vec{v} \times \vec{B})$$

➤ 边界条件：

- 在电磁介质分界面上，设不存在自由电荷与传导电流的面分布，则跨越介质分界面时，
 - 1) \vec{D} 与 \vec{B} 法向连续（满足通量为零的高斯定理）
 - 2) \vec{E} 与 \vec{H} 切向连续：对于如图“矩形扁环”（面积可略）

$$\vec{E}_2 \cdot \Delta \vec{l} - \vec{E}_1 \cdot \Delta \vec{l} = -\frac{d}{dt} \iint_S \vec{B} \cdot d\vec{S} = 0$$

$$\vec{H}_2 \cdot \Delta \vec{l} - \vec{H}_1 \cdot \Delta \vec{l} = \frac{d}{dt} \iint_S \vec{D} \cdot d\vec{S} = 0$$



• 导体分界面时，可存在 σ_0 和 \vec{i}_0

1) \vec{E} 切向连续、 \vec{B} 法向连续

2) \vec{D} 法向不连续，取 $\vec{n} = \vec{n}_{1 \rightarrow 2}$

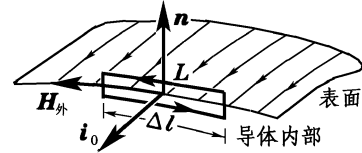
$$\vec{n} \cdot (\vec{D}_2 - \vec{D}_1) = \sigma_0$$

3) \vec{H} 切向不连续：对于如图“矩形扁环”（面积可略）

$$\vec{H}_{\text{外}} \cdot \Delta \vec{l} - \vec{H}_{\text{内}} \cdot \Delta \vec{l} = \vec{i}_0 \cdot (\vec{n} \times \Delta \vec{l})$$

$$= (\vec{i}_0 \times \vec{n}) \cdot \Delta \vec{l}$$

$$\therefore \vec{H}_{\text{外}}^{\parallel} - \vec{H}_{\text{内}}^{\parallel} = \vec{i}_0 \times \vec{n} \quad \text{或} \quad \vec{n} \times (\vec{H}_{\text{外}} - \vec{H}_{\text{内}}) = \vec{i}_0$$



c) 电磁场的对偶性

➤ 真空中源时的麦克斯韦方程组的形式为

$$\begin{cases} \vec{\nabla} \cdot \vec{E} = 0, & \vec{\nabla} \times \vec{E} = -\partial_t \vec{B} \\ \vec{\nabla} \cdot \vec{B} = 0, & \vec{\nabla} \times \vec{B} = \epsilon_0 \mu_0 \partial_t \vec{E} \end{cases}$$

该方程组具有电磁对偶性，即做如下变换

$$\vec{E} \rightarrow c\vec{B} \quad \& \quad \vec{B} \rightarrow -\vec{E}/c, \quad c = 1/\sqrt{\epsilon_0 \mu_0}$$

则方程组的形式不变，只是第一对方程和第二对方程互换了位置。

• 但考虑到源的存在

$$\begin{cases} \vec{\nabla} \cdot \vec{E} = \rho/\epsilon_0, & \vec{\nabla} \times \vec{E} = -\partial_t \vec{B} \\ \vec{\nabla} \cdot \vec{B} = 0, & \vec{\nabla} \times \vec{B} = \mu_0 \vec{j} + \epsilon_0 \mu_0 \partial_t \vec{E} \end{cases}$$

这种对偶性似乎被形式上破坏了。

➤ 如果有磁荷的存在，我们期望麦克斯韦方程组有完整的电磁对偶性，即

$$\begin{cases} \vec{\nabla} \cdot \vec{E} = \rho_e/\epsilon_0, & \vec{\nabla} \times \vec{E} = -\vec{j}_m - \partial_t \vec{B} \\ \vec{\nabla} \cdot \vec{B} = \rho_m, & \vec{\nabla} \times \vec{B} = \mu_0 \vec{j}_e + \epsilon_0 \mu_0 \partial_t \vec{E} \end{cases}$$

在变换

$$\vec{E} \rightarrow c\vec{B} \quad \& \quad \vec{B} \rightarrow -\vec{E}/c \quad \& \quad \rho_e \rightarrow c\epsilon_0 \rho_m \quad \& \quad \rho_m \rightarrow -\rho_e/(c\epsilon_0)$$

下，形式不变。

其中 $\vec{j}_m = \rho_m \vec{v}$ 为磁荷流密度。如上“修正”后的麦克斯韦方程组暗示着：

1) 静止磁荷激发磁场满足我们在第二章引入的磁库伦定律。

作为洛伦兹力公式的一种自然的推广，运动磁荷受力为

$$\vec{F} = \frac{q_m}{\mu_0} \left(\vec{B} - \frac{1}{c^2} \vec{v} \times \vec{E} \right)$$

2) 磁荷守恒：

$$\vec{\nabla} \cdot \vec{j}_m + \partial_t \rho_m = 0$$

6.2 电磁波

a) 电磁波方程:

➤ 线性（各向同性）波动方程:

- 一维标量型: $\partial_t^2 \xi - u^2 \partial_x^2 \xi = 0$, $\xi = \xi(x, t)$
- 二维标量型: $\partial_t^2 \xi - u^2 (\partial_x^2 \xi + \partial_y^2 \xi) = 0$, $\xi = \xi(x, y, t)$
- 三维标量型: $\partial_t^2 \xi - u^2 (\partial_x^2 + \partial_y^2 + \partial_z^2) \xi = \partial_t^2 \xi - u^2 \nabla^2 \xi = 0$, $\xi = \xi(\vec{r}; t)$
- 三维矢量型: $\partial_t^2 \vec{\xi} - u^2 \nabla^2 \vec{\xi} = 0$, $\vec{\xi} = \vec{\xi}(\vec{r}; t)$

➤ 真空电磁波方程: 真空指的是无介质、无自由电荷及传导电流
由真空麦克斯韦方程组

$$\begin{cases} \vec{\nabla} \cdot \vec{E} = 0, & \vec{\nabla} \times \vec{E} = -\partial_t \vec{B} \\ \vec{\nabla} \cdot \vec{B} = 0, & \vec{\nabla} \times \vec{B} = \varepsilon_0 \mu_0 \partial_t \vec{E} \end{cases}$$
$$\therefore \vec{\nabla} \times (\vec{\nabla} \times \vec{E}) = \vec{\nabla}(\vec{\nabla} \cdot \vec{E}) - \nabla^2 \vec{E} = -\nabla^2 \vec{E}$$

同时

$$\vec{\nabla} \times (\vec{\nabla} \times \vec{E}) = -\partial_t (\vec{\nabla} \times \vec{B}) = -\varepsilon_0 \mu_0 \partial_t^2 \vec{E}$$

故有

$$\partial_t^2 \vec{E} - \frac{1}{\varepsilon_0 \mu_0} \nabla^2 \vec{E} = 0$$

类似地

$$\partial_t^2 \vec{B} - \frac{1}{\varepsilon_0 \mu_0} \nabla^2 \vec{B} = 0$$

如上两方程即为真空电磁波方程。由此确定真空电磁波速（真空光速）

$$c = \frac{1}{\sqrt{\varepsilon_0 \mu_0}}$$

- 线性介质中，需做替换: $\varepsilon_0 \rightarrow \varepsilon_r \varepsilon_0$, $\mu_0 \rightarrow \mu_r \mu_0$ 。故介质中波速

$$v = \frac{1}{\sqrt{\varepsilon_r \varepsilon_0 \mu_r \mu_0}}$$

介质折射率

$$n = \frac{c}{v} = \sqrt{\varepsilon_r \mu_r}$$

b) 平面简谐电磁波

- 单色波对应于单频简谐波。对于球面波，在远离点源的区域，总可以做平面波近似，所以通常所说的单色波，对应于数学上的单频平面简谐波。
- 平面简谐波的复表示: 记

$$\xi(\vec{r}, t) = A \cos(\omega t - \vec{k} \cdot \vec{r} + \varphi) = \text{Re } \tilde{\xi}$$

其中

$$\tilde{\xi} = A e^{i(\omega t - \vec{k} \cdot \vec{r} + \varphi)}$$

为平面简谐波 $\xi(\vec{r}, t)$ 的复表示。

- 类似于简谐振动的复表示，简谐波的叠加、求导、积分等均可在复表示下进行。
- 复振幅：记

$$\xi = A e^{i(\omega t - \vec{k} \cdot \vec{r} + \varphi)} = \tilde{A} e^{i(\omega t - \vec{k} \cdot \vec{r})}$$

其中 $\tilde{A} = A e^{i\varphi}$ 被称为复振幅。

- 平面简谐电磁波的性质：

采用复表示：

$$\tilde{\vec{E}} = \tilde{\vec{E}}_0 e^{i(\omega t - \vec{k} \cdot \vec{r})}, \quad \tilde{\vec{B}} = \tilde{\vec{B}}_0 e^{i(\omega t - \vec{k} \cdot \vec{r})}$$

并将波动方程及麦克斯韦方程组推广至复形式，如

$$\vec{\nabla} \cdot \tilde{\vec{E}} = 0, \quad \vec{\nabla} \times \tilde{\vec{E}} = -\partial_t \tilde{\vec{B}}, \quad \dots$$

麦克斯韦方程组不但导致了电磁波方程（组），还给出了对电磁振动方向和相对大小的限制。

- 1) 平面简谐电磁波为**横波**：即电磁振动方向与传播方向垂直
利用公式

$$\vec{\nabla} e^{i(\omega t - \vec{k} \cdot \vec{r})} = -i\vec{k} e^{i(\omega t - \vec{k} \cdot \vec{r})}$$

则有

$$0 = \vec{\nabla} \cdot \tilde{\vec{E}} = -i\vec{k} \cdot \tilde{\vec{E}} \Rightarrow \vec{k} \cdot \tilde{\vec{E}} = 0$$

$$0 = \vec{\nabla} \cdot \tilde{\vec{B}} = -i\vec{k} \cdot \tilde{\vec{B}} \Rightarrow \vec{k} \cdot \tilde{\vec{B}} = 0$$

- 2) \vec{E} 振动与 \vec{B} 振动之间的（大小、方向、位相）关系

$$\vec{\nabla} \times \tilde{\vec{E}} = -\partial_t \tilde{\vec{B}}$$

$$\therefore \vec{k} \times \tilde{\vec{E}} = \omega \tilde{\vec{B}} \Rightarrow \vec{k} \times \tilde{\vec{E}}_0 = \omega \tilde{\vec{B}}_0 e^{i(\varphi_B - \varphi_E)}$$

因此有

$$\vec{k} \times \tilde{\vec{E}}_0 = \omega \tilde{\vec{B}}_0 \quad \& \quad \varphi_B - \varphi_E = 0$$

或者记为：对于 $\vec{E}(t, \vec{r})$ 和 $\vec{B}(t, \vec{r})$

- \vec{E} 与 \vec{B} 振动同相位
- 方向上 $\vec{k} \rightarrow \vec{E} \rightarrow \vec{B}$ 两两垂直且构成右手系
- 大小上： $B = E/v$

- 平面简谐电磁波的能量：

- 能量密度：

$$w = \frac{1}{2} (\vec{D} \cdot \vec{E} + \vec{H} \cdot \vec{B}) = \frac{1}{2} (\epsilon_r \epsilon_0 E^2 + \mu_r \mu_0 H^2)$$

对于单色电磁波而言，上面两项的贡献其实是相等的

$$B^2 = E^2 / v^2 = \epsilon_r \epsilon_0 \mu_r \mu_0 E^2$$

$$\therefore \epsilon_r \epsilon_0 E^2 = \frac{B^2}{\mu_r \mu_0} = \mu_r \mu_0 H^2$$

$$\Rightarrow w = \epsilon_r \epsilon_0 E^2 = \mu_r \mu_0 H^2 = \frac{EH}{v}$$

- 能流密度:

$$\vec{S} = w\vec{v} = EH\hat{v} = \vec{E} \times \vec{H}$$

被称为坡印廷 (Poynting) 矢量, 其大小的周期平均值为电磁波的强度

$$I = \bar{S} = \frac{1}{2}E_0H_0 = \frac{1}{2}v \cdot \epsilon_r \epsilon_0 E_0^2 = \frac{1}{2} \sqrt{\frac{\epsilon_r \epsilon_0}{\mu_r \mu_0}} E_0^2$$

- 电磁场的能量和能流 (**推导不要求**)

- 电磁场的能量: 考虑对自由电荷, 洛伦兹力做功功率的体密度

$$p = \frac{dP}{dV} = \vec{f} \cdot \vec{v} = \rho_0(\vec{E} + \vec{v} \times \vec{B}) \cdot \vec{v} = \rho_0 \vec{v} \cdot \vec{E} = \vec{j}_0 \cdot \vec{E}$$

将 $\vec{j}_0 = \vec{\nabla} \times \vec{H} - \partial_t \vec{D}$ 带入得

$$p = (\vec{\nabla} \times \vec{H}) \cdot \vec{E} - \vec{E} \cdot \partial_t \vec{D}$$

其中

$$(\vec{\nabla} \times \vec{H}) \cdot \vec{E} = -\vec{\nabla} \cdot (\vec{E} \times \vec{H}) + (\vec{\nabla} \times \vec{E}) \cdot \vec{H} = -\vec{\nabla} \cdot (\vec{E} \times \vec{H}) - \vec{H} \cdot \partial_t \vec{B}$$

因此对于线性介质有

$$p = -\vec{\nabla} \cdot (\vec{E} \times \vec{H}) - \frac{1}{2} \partial_t (\vec{D} \cdot \vec{E} + \vec{H} \cdot \vec{B}) = -\vec{\nabla} \cdot \vec{S} - \partial_t w$$

$$\vec{S} = \vec{E} \times \vec{H}, \quad w = \frac{1}{2}(\vec{D} \cdot \vec{E} + \vec{H} \cdot \vec{B})$$

对固定区域 V 做累计 (用 A 表示面积及面积分)

$$-\frac{d}{dt} \iiint_V w dV = P + \oint_A \vec{S} \cdot d\vec{A}$$

这个公式的含义是: 以 w 为密度的定域电磁场能量的减少来自于两个因素, 一是对 (同一区域) 自由电荷系统做功, 另一个是以 \vec{S} 为能流密度从区域边界上“跑掉”。对应于电磁场和电荷系统的能量守恒连续性方程。

- 电磁场的动量: 电磁场可以和自由电荷系统有动量交换 (力的作用), 故电磁场具有动量。

可以证明, 电磁场的动量密度正比于坡印廷矢量, 真空情形为

$$\vec{g} = \frac{\vec{S}}{c^2} = \frac{\vec{E} \times \vec{H}}{c^2}$$

- 图像上的说明: 设想真空单色电磁波场是由数密度为 n 的光子组成, 其中

$$E_\gamma = \hbar\omega, \quad \vec{p}_\gamma = \hbar\vec{k} = \frac{E_\gamma}{c}\hat{k}$$

$$\therefore w = nE_\gamma = EH/c$$

$$\vec{g} = n\vec{p}_\gamma = \frac{w}{c}\hat{k} = \frac{EH}{c^2}\hat{k} = \frac{\vec{E} \times \vec{H}}{c^2}$$

- 实验验证: 光压、康普顿散射等。

- 电磁场的角动量 (不要求): 电磁场可以和自由电荷系统有角动量交换 (力矩的作用), 故电磁场具有角动量, 其相对给定参考点的分布密度为

$$\vec{r} \times \vec{g}$$

c) 电磁波的辐射（定性了解）

➤ 在远处，辐射的总功率，即能流的通量为

$$P_{\infty} = \oint_{S_{\infty}} (\vec{E} \times \vec{H}) \cdot d\vec{S}$$

存在辐射的条件为

$$(\vec{E} \times \vec{H})_r \neq 0 \quad \text{且} \quad E_{\infty} H_{\infty} \sim \frac{1}{r^2}$$

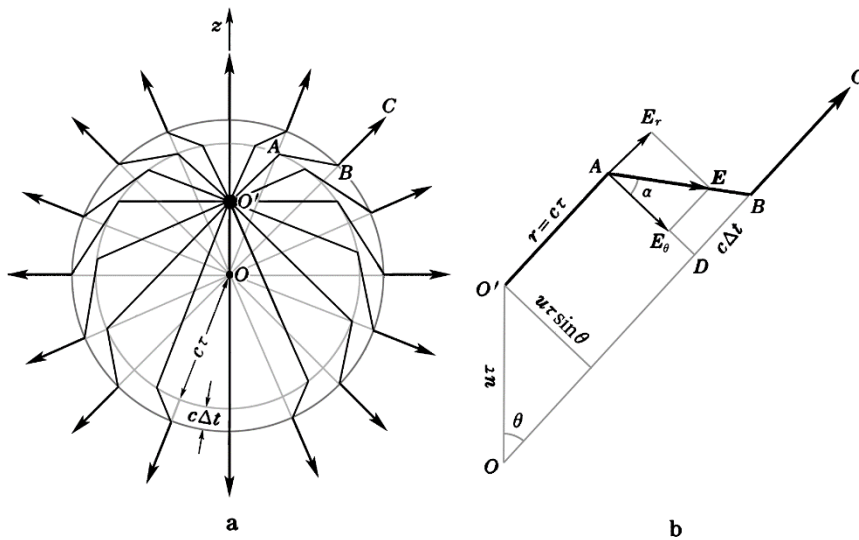
匀速运动点电荷所激发的电磁场

$$\vec{E} = \frac{1}{4\pi\epsilon_0} \frac{q\vec{r}}{r^3} \frac{\left(1 - \frac{v^2}{c^2}\right)}{\left(1 - \frac{v^2}{c^2} \sin^2 \theta\right)^{3/2}}, \quad \vec{B} = \frac{1}{c^2} \vec{v} \times \vec{E}$$

显然不满足如上条件。

➤ 加速运动点电荷产生的辐射：

考虑 $t = 0$ 时静止于 O 处的点电荷 q ，短时间 Δt 内加速至 $u = a\Delta t \ll c$ ，其间移动距离 $a\Delta t^2/2$ 可略。此后经 $\tau \gg \Delta t$ 时间匀速运动至 O' 处（与 O 相距 $u\tau \ll c\tau$ ），如下图所示，



考虑到电磁场传播速度为光速，则以 O 为中心

1) 半径为 $c(\Delta t + \tau)$ 的球面外仍为原静止点电荷所激发的电场；

$$E = E_r = \frac{q}{4\pi\epsilon_0 r^2}, \quad r \geq c(\Delta t + \tau)$$

2) 半径为 $c\tau$ 的球面内为匀速运动点电荷激发的电场（磁场线并未示出）；

$$E \approx E_r \approx \frac{q}{4\pi\epsilon_0 r^2}, \quad r \leq c\tau$$

3) 两球面间的“折线”为加速阶段所激发的电场线。

- 如果如上“瞬间加速模型”可以成立，则关于加速度相关的电场我们可以得到如下结论：

$$E_r \approx \frac{q}{4\pi\epsilon_0 r^2} \approx \frac{q}{4\pi\epsilon_0 (c\tau)^2}$$

$$E_\theta = E_r \cot \alpha = \frac{u\tau \sin \theta}{c\Delta t} E_r \approx \frac{qa \sin \theta}{4\pi\epsilon_0 c^2 (c\tau)} \approx \frac{qa \sin \theta}{4\pi\epsilon_0 c^2 r}$$

- 如上加速度相关的电场具有横向分量 $E_\theta \sim r^{-1}$ 满足向外辐射的要求，被称为“辐射电场”，相应“辐射磁场”在此情形下 ($u \ll c$) 近似可以由下式得到

$$\vec{B}_{\text{辐射}} \approx \frac{\vec{e}_r}{c} \times \vec{E}_{\text{辐射}} \approx \frac{qa \sin \theta}{4\pi\epsilon_0 c^3 r} \vec{e}_\phi$$

即 $\vec{E}_{\text{辐射}}$ 沿经线方向 (子午面内), $\vec{B}_{\text{辐射}}$ 沿纬线方向 (与赤道面平行)。

- 辐射能流为

$$\vec{S} = \vec{E}_{\text{辐射}} \times \frac{\vec{B}_{\text{辐射}}}{\mu_0} \approx \frac{q^2 a^2 \sin^2 \theta}{16\pi^2 \epsilon_0 c^3 r^2} \vec{e}_r$$

$S \sim \sin^2 \theta$ 说明辐射具有方向性，垂直于加速方向的赤道面上辐射最强

同时，辐射具有偏振性：电场偏振方向沿经线，磁场偏振方向沿纬线

- 如上公式虽然是通过模型假定得到的，但可以证明对于 $u_0 = 0$ 的加速电荷辐射场，此公式是正确的。此情形下，总辐射功率为

$$P = \oint_{\text{球面}r} \vec{S} \cdot d\vec{A} = \int_0^\pi \frac{q^2 a^2 \sin^2 \theta}{16\pi^2 \epsilon_0 c^3 r^2} \cdot 2\pi r^2 \cdot \sin \theta d\theta = \frac{q^2 a^2}{6\pi\epsilon_0 c^3}$$

- 电偶极辐射：把振荡电偶极子 ($\vec{p} = q\vec{l}$) 看作是正、负点电荷对称地作加速运动，对如上公式做替换 $qa \rightarrow q(a_+ + a_-) = q\ddot{l} = \ddot{p}$ ，得偶极辐射公式

$$P = \frac{\ddot{p}^2}{6\pi\epsilon_0 c^3}$$

如上公式对于 l 不变， q 在变化的振荡偶极子仍成立。

- 若偶极振荡来自于交流信号源，即

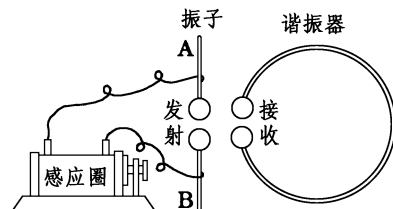
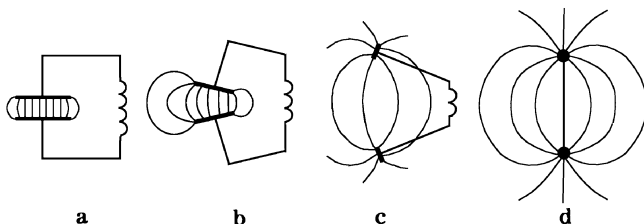
$$\vec{p} = \vec{p}_0 \cos \omega t$$

则平均辐射功率为

$$\bar{P} = \frac{p_0^2 \omega^4}{12\pi\epsilon_0 c^3} \propto \omega^4$$

- 赫兹实验 (Hertz'1888)：装置如图

- 作为发射端的“偶极振子”是由 A、B 黄铜杆连接的两个磨光的黄铜球来实现的，在电路中也可等价于 LC 谐振装置，如下图



其谐振频率较大 ($\nu_0 \sim 10^8 - 10^9 \text{ Hz}$, 这当然也取决于两个球之间距离, 比如说, 1cm)。

- 感应线圈部分可以提供每秒 10-100 次、数万伏特的高压脉冲, 脉冲峰值可以击穿两铜球之间的空气, 产生电火花, 持续时间略大于 10^{-8} s 量级。此高压脉冲 (击穿电流) 可看作宽频带的“驱动力”, 使振子起振, 频率在 ν_0 附近的振动最大, 辐射最强。考虑到辐射带来的阻尼, 该振动 (包括火花电流) 会很快地衰减, 如图所示。
- 接收装置为黄铜环联接两个黄铜球, 黄铜球间隙的距离可调节, 使得其谐振频率在 ν_0 附近, 这样的接收装置被称为“谐振器”。谐振时, 几乎在发射端出现火花的同时, 接收端间隙也出现火花。
- 赫兹也验证了电磁波的偏振性质, 以及折射、反射、干涉、衍射等性质和现象, 他还得到了入射波和反射波叠加的驻波, 并测定了波长。这些验证了麦克斯韦预言的电磁波的存在, 也从侧面验证了光波为特殊频带的电磁波。



➤ 电磁波的发射类型:

- 天线发射: 类似于赫兹实验的发射装置, 无线电波的发射机制以 (电台) 天线发射为主。
- 热辐射: 所有具有 (绝对) 温度的物体都可以向外辐射电磁波, 其频谱峰值对应的辐射光子的能量量级为

$$h\nu_0 = \frac{hc}{\lambda_0} \sim kT = 0.86 \times 10^{-4} \frac{\text{eV}}{\text{K}} \cdot T$$

波长量级为

$$\lambda_0 T \sim \frac{hc}{k} \approx 1.5 \text{ cm} \cdot \text{K}$$

实际上, 在理想情况下 (物体和辐射场达到热平衡, 此时的辐射被称为“平衡辐射”, 或“黑体辐射”), 对按波长分布的能量谱, 有维恩位移定律 (Wien'1893)

$$\lambda_0 T = 0.2898 \text{ cm} \cdot \text{K}$$

☞ 如太阳表面温度约 6000 K, 其辐射峰值波长

$$\lambda_0 \sim 5 \times 10^{-5} \text{ cm} = 500 \text{ nm}$$

处于可见光波段。

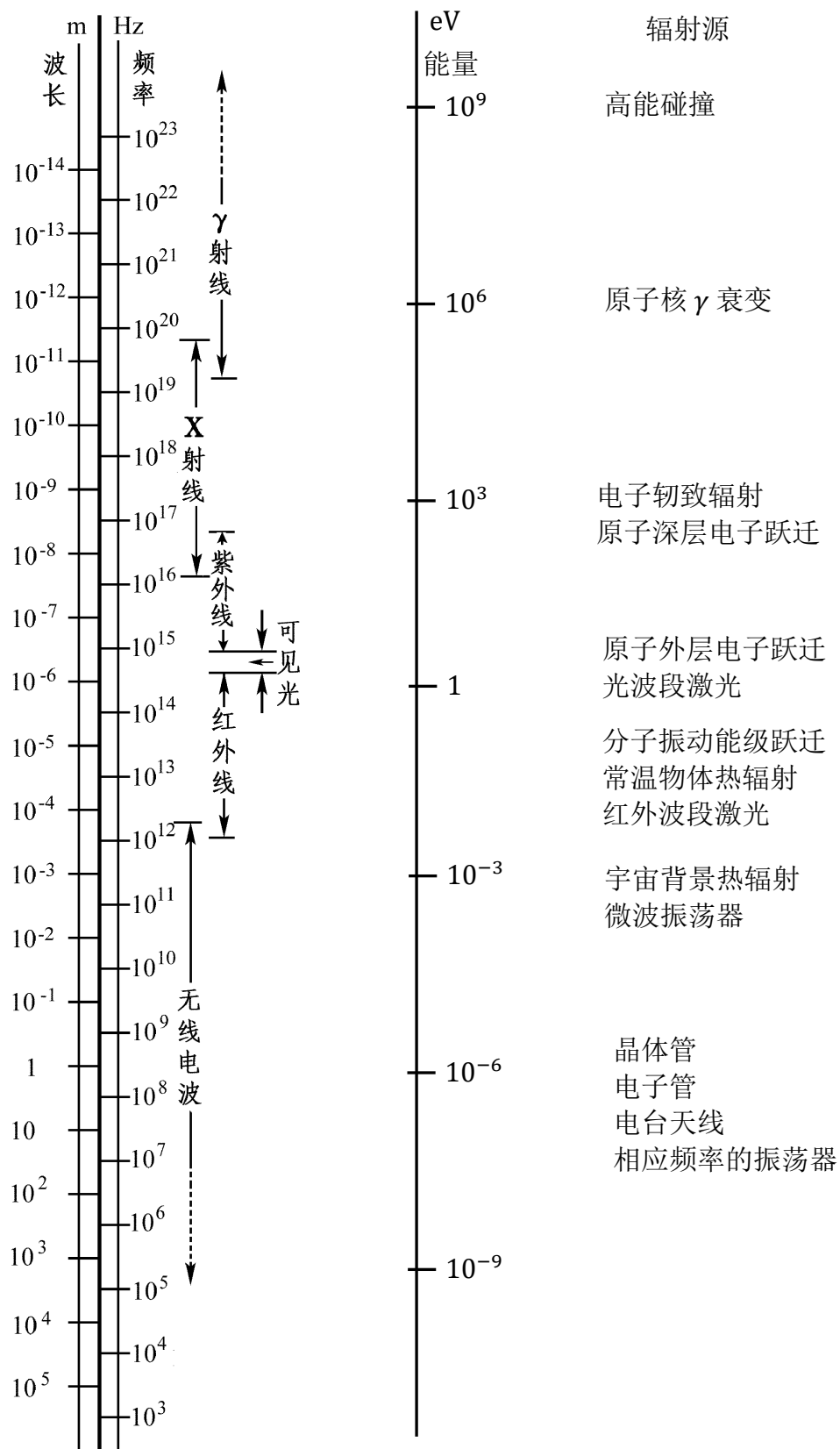
☞ 人体温度约为 300 K, 其热辐射集中在红外波段。

☞ 宇宙空间探测, 发现有近乎各向同性的“宇宙微波背景辐射” ($\lambda_0 \sim 1\text{mm}$), 对应于 $T \sim 3 \text{ K}$ 的宇宙背景温度, 这是宇宙大爆炸的重要遗迹和观测证据。

- 原子辐射: 原子外层电子辐射的光子能量在 eV 的量级, 波长在可见光波段附近; 内层电子辐射 (可由高能电子轰击原子激发) 的光子能量在 keV 的量级, 对应于紫外及 X 射线波段。
- 原子核辐射: 光子能量在 100 keV ~ 1 MeV 量级, 对应于 γ 射线波段。
- 高能粒子碰撞: 目前可以产生并探测到能量达到 1TeV 的光子。

- 高能宇宙线中的高能 γ 射线光子：目前可以观测到 1000 TeV 的光子.

d) 电磁波谱



e) 电磁波在金属中的传输 趋肤效应

➤ 金属中的麦克斯韦方程组:

- 自由电荷移动速度 $u \ll c$, 故有

$$\vec{j} \approx \sigma \vec{E}$$

- 自由电荷体分布可略: $\rho_0 \approx 0$

设想金属中初始放入电荷分布 $\rho_0(t=0)$ 后所对应的暂态过程

$$\begin{aligned} \partial_t \rho_0 &= -\vec{\nabla} \cdot \vec{j}_0 = -\sigma \vec{\nabla} \cdot \vec{E} = -\frac{\sigma}{\epsilon} \rho_0 \\ \Rightarrow \rho_0(t) &= \rho_0(t=0) \cdot e^{-t/\tau} \end{aligned}$$

其中对于金属良导体 $\tau = \epsilon/\sigma \sim 10^{-19} \text{ s}$, 也就是说体电荷分布会很快消失, 表现为金属表面电荷分布及其变化。

附注: 对于良导体, 如上弛豫时间已经远小于自由电子平均碰撞时间 $\sim 10^{-14} \text{ s}$, 故如上条件应修改为, 当电磁波频率 $\nu \ll 10^{14} \text{ Hz}$ 时, 该弛豫时间可略, 即在金属内部, 体电荷分布可略。

- 综上, 金属中的麦克斯韦方程组为

$$\begin{cases} \vec{\nabla} \cdot \vec{E} = 0, & \vec{\nabla} \times \vec{E} = -\partial_t \vec{B} \\ \vec{\nabla} \cdot \vec{B} = 0, & \vec{\nabla} \times \vec{B} = \epsilon \mu \partial_t \vec{E} + \mu \sigma \vec{E} \end{cases}$$

- 金属中的电磁波方程 (组):

$$\begin{aligned} \nabla^2 \vec{E} &= \epsilon \mu \partial_t^2 \vec{E} + \mu \sigma \partial_t \vec{E} \\ \nabla^2 \vec{B} &= \epsilon \mu \partial_t^2 \vec{B} + \mu \sigma \partial_t \vec{B} \end{aligned}$$

这些方程仍有形式上的平面波解 (注意: 如下引入了复数型的波矢量 \tilde{k})

$$\tilde{\vec{E}} = \tilde{\vec{E}}_0 e^{i(\omega t - \tilde{k}z)}, \quad \tilde{\vec{B}} = \tilde{\vec{B}}_0 e^{i(\omega t - \tilde{k}z)}$$

带入电磁波方程 (组) 中得:

$$\begin{aligned} \tilde{k}^2 &= \epsilon \mu \omega^2 - i \mu \sigma \omega \\ \tilde{k} &= k - i \kappa \\ \therefore \begin{cases} k = \omega \sqrt{\frac{\epsilon \mu}{2}} \left(\sqrt{1 + \left(\frac{\sigma}{\epsilon \omega} \right)^2} + 1 \right)^{1/2}, & \kappa = \omega \sqrt{\frac{\epsilon \mu}{2}} \left(\sqrt{1 + \left(\frac{\sigma}{\epsilon \omega} \right)^2} - 1 \right)^{1/2} \end{cases} \end{aligned}$$

当 $\epsilon/\sigma \ll \omega$ 时,

$$\tilde{k} \approx \sqrt{\frac{\mu \sigma \omega}{2}} - i \sqrt{\frac{\mu \sigma \omega}{2}}$$

故

$$\tilde{\vec{E}} = \tilde{\vec{E}}_0 e^{-\kappa z} e^{i(\omega t - kz)}, \quad \tilde{\vec{B}} = \tilde{\vec{B}}_0 e^{-\kappa z} e^{i(\omega t - kz)}$$

波动沿传播方向逐渐衰减, 可以定义“趋肤深度”

$$d_s = \kappa^{-1}$$

这种效应被称为趋肤效应。

☞ 金属良导体 (如铜: $\sigma = 5.9 \times 10^7 (\Omega \text{m})^{-1}$) 中, 取 $\omega = 10^7 \text{ Hz}$, 则趋肤深度为

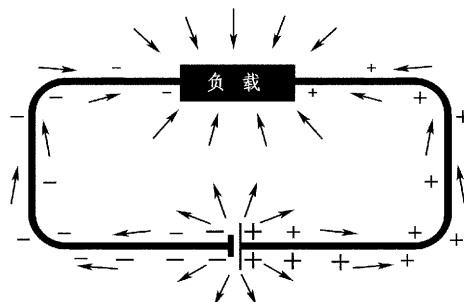
$$d_s \approx \sqrt{\frac{2}{\mu\sigma\omega}} \sim \sqrt{\frac{2}{10^{-6} \cdot 10^7 \cdot 10^7}} \sim 10^{-4} \text{ m}$$

若为可见光波段 ($\omega \sim 10^{15} \text{ Hz}$), 则 $d_s \sim 10^{-8} \text{ m} = 10 \text{ nm}$, 即金属良导体对可见光基本上是“全反射”的, 这就是为什么我们可以在玻璃上镀一层薄薄的银 (玻璃起的作用仅是防止银被氧化) 来作为镜子。

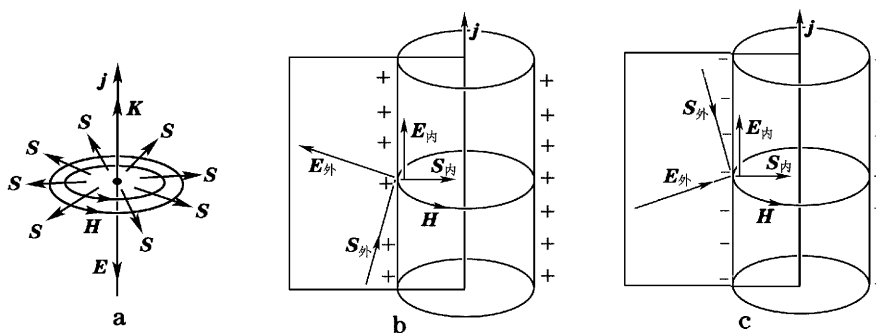
6.3 电磁场及电磁能量的传输

- 直流电路: 在第一章中, 我们讨论了在直流电路建立的过程中, 电场起到的关键作用。在这里, 我们补充讨论在直流电路建立后的稳态过程中, 电磁场分布和能量传输之间的关系。

右图是一个稳态直流电路的导体外, 能流 $\vec{S} = \vec{E} \times \vec{H}$ 方向分布的示意图。



- 电源内电流方向与 \vec{E} 反向 (如下图 a), 这使得 \vec{S} 向外, 包括电源外部 \vec{S} 的方向也是向外的趋势。
- 在负载 (电阻) 和导线内部, 电流沿 \vec{E} 的方向, 故其能流 \vec{S} 指向中心, 即使是在导线和负载外部, 能流也有向内的趋势。
- 如果电导率 $\sigma \rightarrow \infty$, 则导线外部电场 \vec{E} 垂直于导线表面, 外部能流倾向于平行导线方向。



- ✓ 总的图像是: 外部能量的流动是从电源出发, 在导线的引导下, “扎入”电路中有电阻的地方。
- ☞ 例: 考虑无穷长圆柱直导线中的一段 (r, l, σ), 通以均匀电流 $I = j \cdot \pi r^2$, 求证: 由导线外侧面传入的电磁场能即为导线消耗掉的能量 (即焦耳热)
证明: 传入导线的能流仅依赖于导线外平行于导线的电场分量

$$E_{\text{外}t} = E_{\text{内}t} = \frac{j}{\sigma} = \frac{I}{\sigma \cdot \pi r^2}$$

因此, 在导线表面, 传入导线的能流分量

$$S = \frac{E_{\text{外}t} B_r}{\mu_0} = \frac{I^2}{2\pi r \cdot \pi r^2 \cdot \sigma}$$

传入的功率为

$$P = S \cdot 2\pi r \cdot l = I^2 \frac{l}{\sigma \cdot \pi r^2} = I^2 R_l = P_h$$

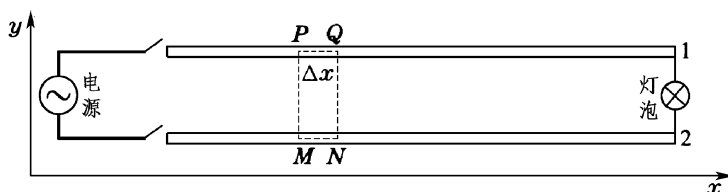
➤ 交流电路：准恒条件、集中条件近似下

- 纯电阻元件的能流与直流电路中的电阻类似。
- 电容：充电时磁场线（可看作由位移电流激发）右旋方向环绕电场线，能流向内；放电时磁场线左旋环绕电场线，能流向外。因此电容是储能装置
- 电感：类似于电容。
- 高频时，准恒条件被破坏，同时分布性电容、电感的效果变得重要起来。此外，趋肤效应也导致能流不再象低频情形那样，在导线表面附近及内部分布比较集中。

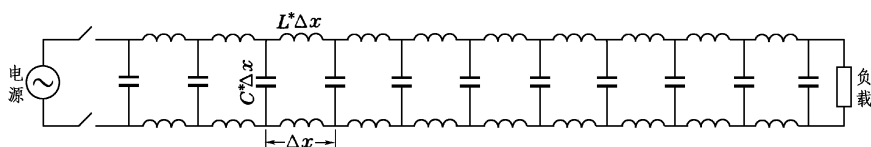
➤ 无线电波的传输：

- 长波段、中波段、短波段（100 kHz – 30 MHz, 3 km – 10 m）的无线电波可以在空间中传播，其频率高到地表的吸收可忽略，低到可以被电离层全反射。
- 极短波（30 MHz – 300 MHz, 10 m – 1 m）和微波段（300 MHz – 300 GHz, 1 m – 1 mm）可以穿透电离层，一般的长程定向传输采用传输线（平行双导线、同轴电缆等）或微波波导管等方式。

➤ 传输线方程：（不要求）对于如图平行双线回路（或同轴电缆），若电磁波波长远小于传输距离，同时远



大于导线间距，则其等效电路如下图所示（忽略“漏阻”效应）



- 引入干路电流分布 $I(x, t)$ 及横向电压分布 $U(x, t)$ 。分布性电感（单位长度为 L^* ）带来

$$U(x + dx, t) - U(x, t) = \partial_x U dx = -(L^* dx) \partial_t I \Rightarrow \partial_x U = -L^* \partial_t I$$

分布性电容（单位长度为 C^* ）带来横向电流（电容分流）效应

$$I(x + dx, t) - I(x, t) = \partial_x I dx = -(C^* dx) \partial_t U \Rightarrow \partial_x I = -C^* \partial_t U$$

进一步取二阶微商有

$$\begin{cases} \partial_x^2 U - L^* C^* \partial_t^2 U = 0 \\ \partial_x^2 I - L^* C^* \partial_t^2 I = 0 \end{cases}$$

即为（忽略“漏阻”效应的）传输线方程，或电报方程。

- 如上方程有沿 x 方向传播的一维简谐波解，波速为

$$v = 1/\sqrt{L^* C^*}$$